

تأثیر مقاومت در نفوذپذیری کانال بتّنی مورد استفاده برای آبیاری استان قزوین

محمود نادری * (استاد)

دانشکده‌ی فنی و هندسی، دانشکده‌ی هندسی عمران، دانشگاه بین‌المللی امام خمینی (ره)

فرهانه محمدی (کارشناس ارشد)

دانشکده‌ی فنی و هندسی، دانشکده‌ی هندسی عمران، دانشگاه آزاد اسلامی، واحد تاکستان

مهمشی عمان شریف، (ایران)، دوری ۲ - ۳، شماره ۲ / ۱، س. ۱۴۰-۱۵۱، (پادشاهت فقیه)

از گذشته، کانال‌های روباز از رایج‌ترین و بهینه‌ترین مقاطع مورد استفاده در سیستم‌های انتقال آب به شمار می‌آیند. در میان روش‌های مختلف انتقال آب، استفاده از نیروی ثقل و به حرکت در آوردن آب به صورت جریان با سطح آزاد به همراه ایجاد کانال‌ها و سازه‌های هیدرولیکی مرتبط، نظری: سریزها، دریچه‌ها و ... از متدائل‌ترین روش‌ها در آبرسانی و آبیاری است. به همین دلیل در بررسی کانال‌ها، نوع آن، مقاومت و نفوذپذیری کانال از جمله موارد مهمی محسوب می‌شوند که برای به کارگیری کانال باید به آن‌ها توجه کرد. به همین دلیل، مطالعاتی برای بررسی کیفیت بتّن کانال انجام و از روش‌های «پیچش» و «محفظه‌ی استوانه‌یی»، برای تعیین مقاومت و نفوذپذیری کانال اصلی انتقال آب استان قزوین استفاده شد. نتایج حاصل نشان می‌دهد که بین مقاومت و نفوذپذیری بتّن کانال مذکور، در مکان‌ها و سینه مختلف ارتباط معنادار معکوسی وجود دارد.

واژگان کلیدی: کانال، آبیاری، بتّن، مقاومت، نفوذپذیری.
 profmahmoodnaderi@Eng.ikiu.ac.ir
 farhan_m_13@yahoo.com

۱. مقدمه

انجام شده است. از موارد استفاده‌ی روش پیچش در مطالعات سال‌های اخیر می‌توان به تعیین مقاومت بتّن و ملات تعمیری در بتّن خودتراکم،^[۱] تعیین مقاومت بتّن سبک ساخته شده با سبک‌دانه‌های لیکا، اسکریا و پرلیت،^[۲] تعیین مقاومت چسبیندگی صفحات CFRP در برابر تغییر دما، ترو خشک شدن، بخ زدن و آب شدن،^[۳] اثر مقاومت و چسبیندگی ورق CFRP در مقاومت نهایی تیرهای بتّنی،^[۴] تعیین مقاومت سطحی بتّن در سیستم‌های فاضلابی،^[۵] و بررسی مقاومت تیرهای مسلح شده با ورق‌های FRP، اشاره کرد.^[۶]

احادیث شبکه‌های آبیاری باعث کاهش تلفات و افزایش بهره‌وری و در عین حال کاهش میزان سرمایه‌گذاری و طولانی شدن زمان اجرا می‌شود. کانال‌های آب برای انتقال آب به زمین‌های کشاورزی و آبیاری آن‌ها استفاده می‌شوند. در پروژه‌ها و طرح‌های آبی به منظور تولید محصولات یا افزایش آن، انتقال آب باید براساس یک راندمان قابل سقوط آبیاری انجام بذیرد. در این بین، پوشش کانال‌ها با هدف افزایش مقاومت دیواره‌های خاکی آن‌ها در مقابل آب شستگی، کاهش نفوذ و سایر تلفات آب به منظور افزایش راندمان انتقال، امری ضروری است. یکی از پوشش‌های معمول کانال‌های انتقال آب، پوشش بتّنی است که به واسطه‌ی عمر متواتر بالا (در حدود ۴۰ سال) و هزینه‌ی نگهداری پایین، از بهترین نوع پوشش‌ها به شمار می‌رود.^[۷]

با توجه به محدودیت‌های موجود در منابع آبی کشور و همچنین نقش اساسی کانال‌ها در انتقال آب، شناخت عوامل مخرب پوشش‌ها و کانال‌های انتقال آب ضروری است. همچنین به دلیل تفاصلی فراینده‌ی مصرف آب و محدودیت منابع آب تجدیدشونده، عواملی مانند: تعیین نفوذپذیری جهت بررسی دوام و کارایی و قابل استفاده بودن پوشش بتّنی و تعیین درجای مقاومت بتّن جهت تصمیم‌گیری در انجام تقویت، مقاوم سازی، ارزیابی و تعمیر سازه‌ها، اهمیت بسیار زیادی دارد. مطالعات متعددی در زمینه‌ی کاربرد روش «پیچش» در تعیین مقاومت درجا بتّن

۲. معرفی منطقه‌ی مورد مطالعه

استان قزوین با مساحتی معادل ۱۵۸۲۱ کیلومترمربع بین ۴۸ درجه و ۴۵ دقیقه تا ۵۰ درجه و ۵۰ دقیقه‌ی طول شرقی و ۳۵ درجه و ۳۷ دقیقه تا ۳۶ درجه و ۴۵ دقیقه‌ی عرض شمالی در حوزه‌ی مرکزی و در دامنه‌های جنوبی رشته‌کوه البرز و در قسمت‌های شمالی، غربی و جنوبی کوهستانی واقع است و قسمت‌های مرکزی و شرق آن را دشت تشکیل می‌دهد.^[۸]

۳. کانال‌های شبکه‌ی آبیاری

شبکه‌ی آبیاری و زهکشی دشت قزوین جمعاً به طول کلی کانال‌ها ۱۰۴۷ کیلومتر

* نویسنده مسئول

تاریخ: دریافت ۲۶، ۱۳۹۵/۴، اصلاحیه ۲۳، ۱۳۹۵/۶، پذیرش ۱۷، ۱۳۹۵/۸.

DOI: 10.24200/J30.2018.1365

جدول ۱. مشخصات هیدرولیکی کانال اصلی قزوین.^[۱]

از کیلومتر	تا کیلومتر	موقعیت محلی	بخش (sec.)	ارتفاع کانال آب خور	عرض کانال آب خور	قطعه سطح	عرض بالایی	عرض محيط	سرعت جریان (m/s)	دبي (m³/s)
۳+۴۴۵	۰+۰۰۰	-	-	۲,۵	۴	۴	۱,۵	۹	۳	۳۰
۱۱+۴۸۱	۳+۴۴۵	زیاران	۱	۲,۷	۳,۲	۲,۷	۰,۲۷	۱۵/۲	۱,۵۵	۳۰
۱۹+۶۸۰	۱۱+۴۸۱	بهجهت‌آباد	۲	۲,۵	۳,۲	۲,۵	۰,۳۴	۱۴/۴	۱,۶۶	۲۸,۴
۲۹+۰۲	۱۹+۶۸۰	شهیدرجایی	۳	۲,۴	۳,۲	۲,۴	۰,۳۴	۱۶/۳۲	۱,۶۳	۲۶,۵
۲۸+۵۶۸	۲۹+۰۲	حصار‌خروان	۴	۲,۵۵	۳,۲	۲,۱	۰,۳۴	۱۲/۸	۱,۵۲	۱۹,۸۵
۳۸+۵۶۸	۴۵+۹۱۰	مهرگان	۵	۲,۵۵	۲,۲	۲,۱	۰,۴۲	۱۱/۸	۱,۶	۱۸
۴۵+۹۱۰	۴۵+۹۱۰	نجف‌آباد	۶	۲,۰۵	۲,۲	۱,۹۵	۰,۴۵	۱۱,۲۶	۱,۶	۱۶
۵۱+۴۳۳	۶۲+۰۰۰	قوزین	۷	۲,۰۵	۲,۲	۱,۶۸	۰,۵۶	۷/۹۳	۱,۶۴	۱۳
۶۲+۰۰۰	۶۲+۰۰۰	ناصرآباد	۸	۱,۸۷	۲,۲	۱,۵۲	۰,۶	۶,۸۱	۹,۴	۱۱
۶۸+۸۰۵	۶۸+۸۰۵	محمدآباد	۹	۱,۸	۲,۲	۱,۴۵	۰,۶	۶,۳۴۴	۹,۱	۱۰
۷۳+۶۳۰	۷۳+۶۳۰	نظامآباد	۱۰	۱,۵۲	۱,۵	۱,۲	۰,۷۵	۷,۹۶	۱,۵۱	۶
۷۸+۱۵۰	۷۳+۶۳۰	دولت‌آباد	۱۱	۱,۴	۱,۵	۱,۱	۰,۷۵	۲,۴۶۵	۱,۴۵	۵
۷۸+۱۵۰	۷۸+۱۵۰	قمیک	۱۲	۱,۳	۱,۲	۱,۰۲	۰,۸۵	۲,۷۸۵	۱,۴۴	۴
۸۵+۸۷۰	۸۳+۱۵۰	کهک	۱۳	۱,۱۵	۱,۲	۱,۸۹	۰,۸۵	۲,۲۵۶	۱,۳۳	۳

فشاری نمونه‌ی بتنی به کمک دستگاه بتن‌شکن و روش درجای پیچش تعیین و رابطه‌ی بین آن‌ها و میزان همبستگی بررسی شد. از بررسی آزمایش‌های وسیعی که در تعیین مقاومت در جای بتن با استفاده از روش مذکور و دیگر روش‌های استاندارد صورت گرفته است، مشخص شد که یک همبستگی تقریبی خطی به میزان $R^* = ۰,۹۷۲۲ + ۰,۲۷۵x$ به معادله $y = ۰,۲۷۵x + ۰,۹۷۲۲$ (y مقاومت فشاری بتن بر حسب مگاپاسکال و x گشتاور پیچشی بر حسب نیوتون در متر) میان مقاومت فشاری بتن و مقاومت حاصل از روش پیچش وجود دارد، به طوری که مقاومت فشاری، با یکتابع تقریبی خطی از مقاومت پیچشی نهایی واردشده متناظر است. بنابراین با در اختیار داشتن مقاومت حاصل از روش پیچش و مراجعه به نمودارهای واسنجی مطابق با رابطه‌ی قیدشده می‌توان مقاومت فشاری بتن را با دقت بسیار بالایی اندازه‌گیری کرد.^[۱]



شکل ۱. دستگاه پیچش.

متشکل از ۵۱۹ شاخه کanal اصلی و کانال‌های درجه ۳، ۲، ۱ و ۴ است. کanal اصلی به طول ۹۳,۸ کیلومتر است.

۴. مشخصات هیدرولیکی کanal اصلی
در جدول ۱، مشخصات هیدرولیکی کanal مادر دشت قزوین، شامل: دبی، ارتفاع کanal، عرض کف، عرض بالا، طول جداره، شبیج‌داره و ... جمع‌آوری شده است.^[۱]

۵. تعیین مقاومت بتن
روش‌های متعددی برای آزمایش بتن در سازه ابداع شده است که براساس احتمال آسیب‌رسانی به سازه به ۳ گروه: غیرمخرب، نیمه مخرب و مخرب تقسیم می‌شوند.^[۱۲]
در جدول ۲، آزمایش‌های تعیین مقاومت بتن با یکدیگر مقایسه شده‌اند.

۱.۱. تعیین مقاومت درجا به روش «پیچش»

روش جدید «پیچش» در سال ۲۰۰۵ ابداع شد.^[۱۳] روش مذکور در مجموعه‌ی آزمایش‌های نیمه مخرب (با خرابی جزئی) قرار دارد و دستگاه آزمایش بسیار ساده‌ی بی دارد و در آن عوامل بسیاری که موجب پراکندگی نتایج می‌شوند، حذف شده‌اند. دستگاه آزمایش روش پیچش (شکل ۱) در عین سادگی، دقت بالایی دارد. همچنین ضریب تغییرات به دست‌آمده از نتایج بر روی یک نمونه بسیار ناچیز است. سرعت انجام آزمایش بالا و هزینه‌ی انجام آن ناچیز و قابلیت تکرارش زیاد است. به منظور صحبت‌سنگی مقاومت فشاری حاصل از روش پیچش، مقاومت

جدول ۲. مقایسه‌ی آزمایش‌های تعیین مقاومت بتن.^[۱۲]

نوع آزمایش	محاسن	معایب
- هزینه‌ی کم	- غیرمخرب	- دقت نتایج رضایت‌بخش نیست - اغلب نیاز به تخصص دارد
- سریع	- نیمه‌مخرب	- سرعت نسبتاً خوب
- تکرارپذیر	(با خرابی جزئی)	- نیاز به ترمیم قسمت تخریب شده دارد
- نتایج مطلوب	محرب	- از بین رفتن عضو مورد آزمایش - هزینه‌ی بالا - وقت‌گیر بودن

۶. تعیین نفوذپذیری با روش «محفظه‌ی استوانه‌یی»

روش محفظه‌ی استوانه‌یی که در سال ۲۰۱۱ ابداع شده است، روشی دقیق با کاربردی گسترده در تعیین میزان نفوذپذیری بتن و سایر مصالح ساختمان در محیط آزمایشگاهی و محل پژوهه است.^[۱۳] این دستگاه با نام «سیلندریکال چمبر»^۱ یا «محفظه‌ی استوانه‌یی» شناخته شده است. مطالعاتی در مورد صحبت‌سنجه‌ی استفاده از روش مذکور انجام شده است. از جمله، در پژوهشی در سال ۱۳۹۳، به مقایسه‌ی نفوذپذیری بتن به روش‌های استاندارد (ASTM, BS, ISIRI, ...) و روش محفظه‌ی استوانه‌یی پرداخته و نشان داده شده است که تعیین نفوذپذیری به روش ذکر شده بسیار به روش BS نزدیک است و استفاده از آن قابل اطمینان است.^[۱۴]

۱.۶. روش انجام آزمون نفوذپذیری

در بخش حاضر، مراحل انجام آزمون نفوذپذیری با روش «محفظه‌ی استوانه‌یی» (شکل ۲) به صورت ساده و گویا ارائه شده است:

۱. سطح بتن با استفاده از سنباده از آلودگی و گرد و غبار پاک شود.
۲. صفحه‌ی زیر سری به کمک چسب اپوکسی به سطح بتن چسبانده شود.
۳. پس از گیرش نهایی چسب، قسمت فوقانی دستگاه شامل محفظه‌ی فشاری و گیج اندازه‌گیری فشار بر روی صفحه‌ی زیر سری نصب شود.
۴. پیستون به کمک دستگیره، به بالاترین موقعیت خود قرار گیرد.
۵. شیر تخلیه‌ی هوا باز و محفظه کاملاً از آب پر شود.
۶. پس از اطمینان از پرشدن کامل آب در محفظه، شیر تخلیه‌ی هوا بسته و فشار دستگاه به کمک چرخاندن دستگیره افزایش داده شود.
۷. فشار آب داخل دستگاه را به ۵/۰ بار رسانده و میکرومتر در مکان موردنظر بر روی عدد صفر نصب شود.
۸. هم زمان با پیچاندن دسته‌ی تنظیم فشار به منظور رسیدن به فشار موردنظر (۵ بارا به کمک میکرومتر متصل به دستگاه، میزان نفوذ آب به داخل بتن در زمان‌های مقرر قرائت شود.

گستره‌ی کاربرد روش نفوذپذیری، شامل این موارد است:

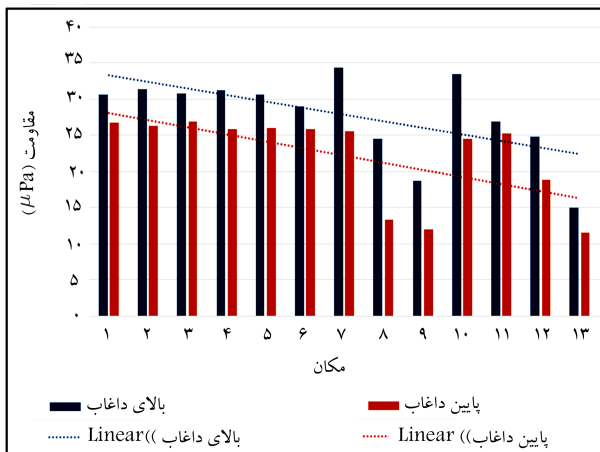
۱.۵. روش انجام آزمون «پیچش»

مراحل انجام آزمون مقاومت درجا به روش «پیچش» به این صورت است:

۱. آماده‌سازی و پرداخت سطح بتن و استوانه‌های فلزی با استفاده از کاغذ سنباده به گونه‌یی که فاقد هرگونه آلودگی (روغن، گرد و غبار و ...) باشد.
 ۲. آماده‌سازی چسب‌های اپوکسی با اختلاط نسبت‌های توزین شده، به طوری که چسب حاصل به صورت مخلوطی همگن باشد.
 ۳. اعمال چسب با ضخامت یکنواخت بر روی سطح زیرین استوانه‌های فلزی.
 ۴. قرار دادن استوانه‌های فلزی بر روی سطح بتن با فاصله‌ی کمینه به اندازه‌ی قطر استوانه‌ها.
 ۵. اعمال نیروی قائم بر روی استوانه (با دست یا گیره) به صورت یکنواخت جهت خارج کردن چسب اضافی از شرایط آزمون.
 ۶. تمیز کردن چسب اضافی از اطراف استوانه‌های فلزی.
 ۷. مراقبت از بتن، جهت سپری شدن زمان عمل آوری چسب.
 ۸. قرار دادن آچار پیچشی سنج بر روی استوانه‌ی فلزی و اعمال نیروی پیچشی به صورت یکنواخت و افقی تا مرز گسیختگی (در پژوهش حاضر از یک آچار پیچش سنج دستی دقیق با دقت ۵ پوند. فوت (lb ft) و ظرفیت نهایی ۳۰۰ (lb ft)(406,75 kNm) استفاده شده است).
 ۹. گزارش اعداد قرائت شده حاصل از اعمال نیروی پیچشی و نوع شکست استوانه از سطح بتن.
- استفاده از روش پیچش نیاز به مهارت و برنامه‌ریزی برای تکنسین آزمایش ندارد و محدودیت ابعاد نمونه هم تأثیری در روند آزمایش ندارد. همچنین براساس آزمایش‌های انجام‌گرفته، روش مذکور انعطاف‌پذیری بسیار زیادی دارد، به طوری که می‌توان با دقت بسیاری از آن در تعیین مقاومت فشاری مصالح سازه‌یی گوناگونی، نظیر: آجر، ملات، و... نیز استفاده کرد.^[۱۵,۱۶] محدودیت روش پیچش در زمان عمل آوری چسب به کار رفته است که البته محدودیت‌های ذکر شده با توجه به پیشرفت‌های زیادی که چسب‌ها در صنعت ساختمان داشته‌اند، حذف شده است.^[۱۷]

جدول ۳. میانگین مقاومت در بالا و پایین داغاب.

میانگین مقاومت (مگاپاسکال)		
مکان	بالای داغاب	پایین داغاب
۲۶,۸۴	۳۰,۶۹	۱
۲۶,۳۴	۳۱,۴۴	۲
۲۶,۹۶	۳۰,۸۲	۳
۲۵,۸۵	۳۱,۳۱	۴
۲۶,۰۹	۳۰,۶۹	۵
۲۵,۸۵	۲۹,۰۸	۶
۲۵,۶۰	۳۴,۴۲	۷
۱۳,۲۹	۲۴,۶۰	۸
۱۲,۰۵	۱۸,۷۶	۹
۲۴,۶۰	۳۳,۵۵	۱۰
۲۵,۲۲	۲۶,۹۶	۱۱
۱۸,۸۹	۲۴,۸۵	۱۲
۱۱,۰۵	۱۴,۹۱	۱۳



شکل ۳. نمودار مقایسه‌ی میانگین مقاومت در بالا و پایین داغاب بتن کانال در کل مسیر.

در سطح کانال، به طور میانگین بین ۱۴ تا ۳۴ مگاپاسکال و در پایین داغاب بین ۱۲ تا ۲۶ مگاپاسکال بوده است.

مقاومت فشاری بتن کانال در بالای داغاب در تمامی مکان‌ها از مقاومت فشاری بتن در پایین داغاب بیشتر بوده است. علت پایین بودن مقاومت در پایین داغاب نسبت به بالای داغاب را می‌توان به دلیل حمله‌ی سولفات‌ها، کارورها و باکتری‌های موجود در آب همچنین کربناتی شدن بتن، واکنش قلیایی، یخ‌زدگی و ذوب متوالی، فرسایش، و سایش و نفوذ نمک در بتن دانست.

بیشترین مقاومت درجا بالای داغاب مربوط به مکان شماره‌ی ۷ با مقدار ۳۴ مگاپاسکال و کمترین آن مربوط به مکان شماره‌ی ۱۳ با مقاومت ۱۴ مگاپاسکال است. همین طور بیشترین مقاومت پایین داغاب مربوط به مکان شماره‌ی ۳ با مقدار ۲۶ مگاپاسکال در شرق سیستم شبکه‌ی آبیاری و کمترین آن مربوط به مکان شماره‌ی ۱۳ با مقاومت ۱۱ مگاپاسکال در غرب سیستم شبکه‌ی آبیاری است. همین نتایج به صورت نمودار در شکل ۳ نشان داده شده‌اند، تا مقایسه‌ی آن‌ها را



شکل ۲. دستگاه تعیین نفوذپذیری.

- تعیین میزان نفوذپذیری به صورت کمی،
- تعیین رابطه‌ی نفوذپذیری با مقاومت،
- ارزیابی نفوذپذیری درجای سازه‌ها،
- قابلیت کاربرد در تمام نقاط سازه و اماکن‌هایی که امکان نمونه‌برداری وجود ندارد،
- قابلیت استفاده برای تعیین نفوذپذیری سایر مصالح ساختمانی، مانند: سنگ، ملات، سقال و آجر.

از جمله امتیازهای روش نفوذپذیری می‌توان به این موارد اشاره کرد:

- سادگی در اجزاء دستگاه و کار با آن،
- سرعت، دقت و تکرارپذیری بالای انجام آزمون،
- تعیین نفوذپذیری به صورت کمی،
- قابلیت حمل به سخت‌ترین مکان‌ها،
- بی‌نیازی به تکنسین و فرد ماهر،
- عدم محدودیت در ابعاد نمونه‌ها.

۷. انتخاب محل بررسی

مطابق با جدول ۱، مشخصات هیدرولیکی کانال اصلی از اداره‌ی آب منطقه‌یی استان قزوین تهیه شد. به طوری که در فواصل مشخصی از کیلومتر در طول مسیر امتدادی کانال، ابعاد و دبی آن با تغییراتی مواجه بوده است. بر همین مبنای به ازاء هر تغییر ابعادی و شرایط محیطی در ۱۳ منطقه‌ی مشخص، آزمون پیچش در بالا و پایین داغاب انجام شد. در هر منطقه، ۳ آزمون پیچش در فاصله‌ی میانی جذاره از کف کانال صورت گرفت. همچنین آزمون نفوذپذیری در پایین داغاب برای همان ۱۳ منطقه‌ی مذکور و ۳ آزمون نفوذپذیری در بالای داغاب در مکان‌های ۲، ۶ و ۱۳ انجام شد.

۸. نتایج انجام آزمون پیچش برای تعیین مقاومت بتن

نتایج میانگین مقاومت بتن در بالا و پایین داغاب کانال در جدول ۳ نشان داده شده است. همان‌گونه که مشخص است، مقاومت‌های اندازه‌گیری شده در بالای داغاب

ساده‌تر کنند. با توجه به اینکه مسیر مورد مطالعه بالغ بر ۹۳ کیلومتر بوده است، مسلماً زمان و شرایط بتن ریزی آن یکسان نخواهد بود. بنا بر این یکسان نبودن طرح اختلاط، انتقال بتن، تراکم، عمل آوری، نوع بهره‌برداری و میزان در دسترس بودن کانال برای کشاورزان و از همه مهم‌تر شرایط محیطی، همچون آب و هوا (سیکل های یخ‌بندان، میزان رطوبت، تبخیر، وزش باد و جمع‌شدگی حاصل از خشک شدن بتن و ...) می‌تواند دلیلی برای پراکندگی در مقدار مقاومت های به دست آمده باشد. اما به طور میانگین از قسمت شرقی شبکه‌ی آبیاری به سمت تاکستان) افزایش یافته است. همچنین بین مقاومت تاکستان) مقاومت بتن کاهش یافته است. درصورتی که کانال انتقال آب از دسترس کشاورزان به دور باشد، به گونه‌یی که نتوانند بهره‌برداری غیرمجاز و فرایند آب‌کشی با پمپاز داشته باشند، آن منطقه از نظر میزان مقاومت، وضعیت بهتری دارد. همچنین می‌توان اظهار داشت در طول مسیر کانال انتقال آب، مناطقی که در نزدیکی جاده‌ی اصلی (آزادراه تهران - قزوین، قزوین - رشت) و یا کارخانه‌ها و نیروگاه قرار دارند، به دلیل تأثیر دی‌اسیدکربن در بتن، وضعیت چندان مناسبی ندارند.

۹. نتایج انجام آزمون نفوذپذیری

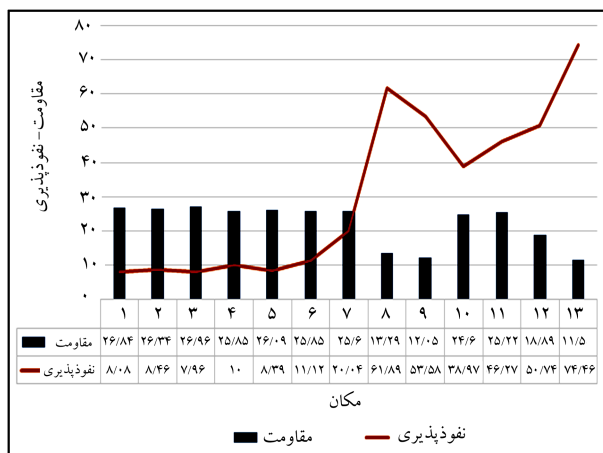
آزمون نفوذپذیری مطابق با روشهی که در بخش پیش عنوان شد، در مکان‌های مقرر انجام و نتایج آن بر روی بتن کانال اصلی در بالا و پایین داغاب در جدول ۴ ارائه شده و نتایج مندرج در آن، بیان‌گر نفوذ مقدار آب در مدت ۳۰۰ دقیقه به داخل بتن در محل انجام آزمون است.

از نتایج به دست آمده مشاهده می‌شود که میزان نفوذ آب در سطح بتن کانال انتقال آب شهر قزوین دائمی وسیعی دارد، به طوری که مقدار نفوذ بین ۷ تا ۷۴ میلی‌لیتر در پایین داغاب و ۱۶ تا ۱۲۱ میلی‌لیتر در بالای داغاب متغیر است. بیشترین نفوذپذیری در بتن کانال، برای پایین داغاب با مقدار نفوذ ۷۴ میلی‌لیتر مریبوط

جدول ۴. مقدار نفوذ آب به داخل بتن کانال پس از ۳۰۰ دقیقه به میلی‌لیتر.

مکان	مقدار نفوذ (میلی‌متر)		
	پایین داغاب	بالای داغاب	*
۱	۸,۰۸	۱	
۲	۸,۴۶	۲	
۳	۷,۹۶	۳	
۴	۱۰	۴	
۵	۸,۳۹	۵	
۶	۱۱,۱۲	۶	
۷	۲۰,۰۴	۷	
۸	۶۱,۸۹	۸	
۹	۵۳,۵۸	۹	
۱۰	۳۸,۹۷	۱۰	
۱۱	۴۶,۲۷	۱۱	
۱۲	۵۰,۷۴	۱۲	
۱۳	۷۴,۶۶	۱۳	
	۱۲۱,۴۰		

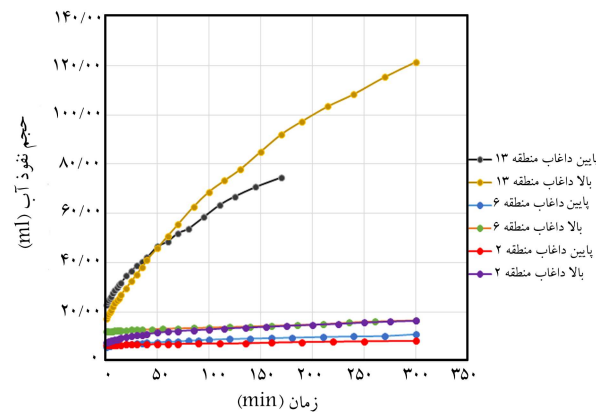
شکل ۴. نمودار مقایسه‌ی مقدار نفوذ آب بر حسب میلی‌لیتر در پایین داغاب بتن کانال، پس از ۳۰۰ دقیقه.



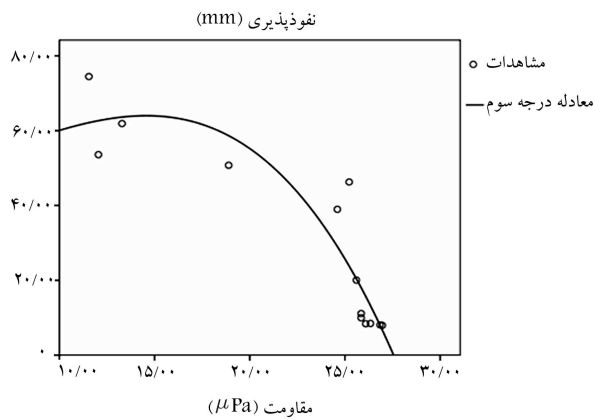
شکل ۵. نمودار ارتباط بین مقاومت و نفوذپذیری در مکان‌ها در پایین داغاب بتن کانال.



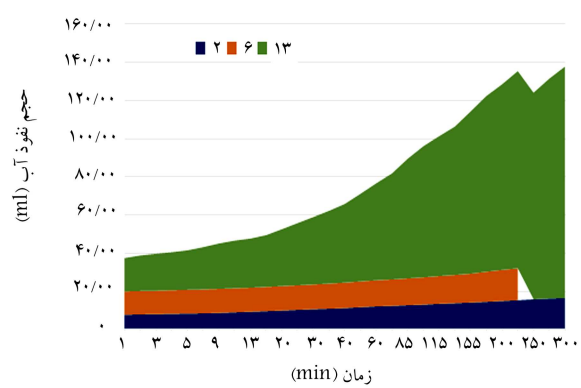
شکل ۸. حجم رسوبات بر روی جداره کانال.



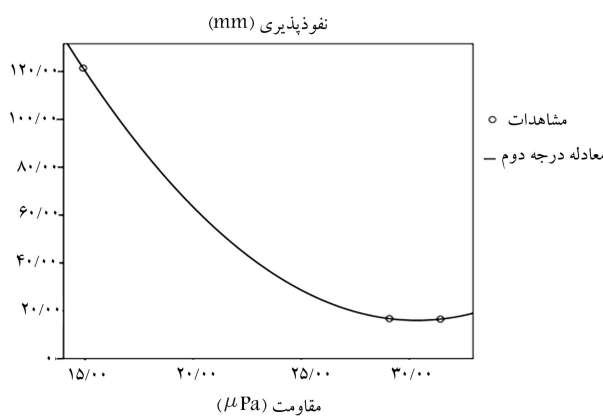
شکل ۶. نمودار مقایسه‌ی مقدار نفوذ آب در بالای داغاب نسبت به پایین داغاب بتن کانال در مکان‌های ۲، ۶ و ۱۳.



شکل ۹. نمودار بهترین خط برآش داده شده در بین مقواومت و نفوذپذیری بتن کانال در پایین داغاب.



شکل ۷. نمودار مقایسه‌ی مقدار نفوذ آب در بالای داغاب بتن کانال در بین مکان‌های ۲، ۶ و ۱۳.



شکل ۱۰. نمودار بهترین خط برآش داده شده در بین مقواومت و نفوذپذیری بتن کانال در بالای داغاب.

شکل‌های ۹ و ۱۰، به ترتیب نمودار خط برآش داده شده بین مقواومت و نفوذپذیری از بتن کanal را در پایین و بالای داغاب نشان می‌دهد. از بین معادلات همبستگی ارائه شده تابع درجه ۳ با $Sig.F = ۰,۰۰۰$ و ضریب همبستگی $۰,۸۴۵$ بهترین معادله‌ی خطی برآش شده بین میانگین مقواومت و نفوذپذیری در پایین داغاب بتن کanal و همچنین تابع درجه ۲ بدون $Sig.F$ با ضریب همبستگی $۰,۳۰۰$ دقیقه داده‌های پایین و بالای داغاب هر مکان همبستگی وجود دارد.

حاصل از نفوذپذیری بتن در پایین داغاب مقادیر کمتری را نسبت به بالای داغاب نشان می‌دهد. چرا که بخش‌های بالای داغاب که در سیکل ترو خشک شدن و ضربات اجسام شناور قرار می‌گیرند، ضعیف‌ترند. از آنجا که بیشتر مسیر انتقال آب در راستای مستقیمی بدون انحنای امتداد دارد، مسدود شدن خلل و فرج سطح پتن با رسوب‌های موجود در آب از دیگر عوامل مؤثر بر این نتیجه است. می‌توان مشاهده کرد که رسوبات حاصل در بخش زیر داغاب به عنوان لایه‌ی محافظتی در برآبر نفوذپذیری مفید واقع شده‌اند. در شکل ۸، تصویری از حجم رسوبات مشاهده شود.

۱۰. تحلیل آماری نتایج با به کارگیری نرم افزار SPSS

با استفاده از نرم افزار SPSS، رابطه‌ی همبستگی بین میانگین نتایج به دست آمده از تعیین مقواومت و نفوذپذیری بتن کanal، در پایین و بالای داغاب برای مکان‌های مختلف محاسبه شده است. در جدول‌های ۵ و ۶، معادلات همبستگی در پایین و بالای داغاب ارائه شده است. از واژه‌ی Permeability به عنوان نفوذپذیری و از عبارت Strength به عنوان مقواومت استفاده شده است. در سطح اطمینان ۹۵٪ یا به عبارتی در سطح معنی داری ۵٪ ملاحظه می‌شود که مقدار $Sig.F$ در تمام معادلات برآش شده، کمتر از ۵٪ است. بنابراین بین دو کمیت میانگین مقواومت و نفوذپذیری در ۳۰۰ دقیقه داده‌های پایین و بالای داغاب هر مکان همبستگی وجود دارد.

جدول ۵. مقایسه‌ی معادلات همبستگی (بین میانگین مقاومت و نفوذپذیری پایین داغاب در بتون کanal).

Sig.F	معادله	R ²	نوع تابع
۰,۰۰۰	Permeability = -۳,۵۵۵ strength + ۱۰۹,۸۲۸	۰,۷۸۰	خطی
۰,۰۰۰	Permeability = -۶۴,۱۵۱ ln (strength) + ۲۲۶,۹۴۹	۰,۷۵۱	لگاریتمی
۰,۰۰۰	Permeability = ۱۰۹۲,۹۶۷ (strength) - ۲۲,۴۷۳	۰,۷۱۹	معکوس
۰,۰۰۰	Permeability = -۰,۳۵۸ strength ^۲ + ۱۰,۲۹۷ strength - ۹,۰۴۲	۰,۸۳۵	درجه ۲
۰,۰۰۰	Permeability = -۰,۰۱۱ strength ^۲ + ۰,۲۳۸ strength ^۲ - ۱۹,۹۵۲ strength + ۴۷,۱۹۵	۰,۸۴۵	درجه ۳
۰,۰۰۱	permeability = e ^{-۰/۱۱۲ strength + ۲۲۶,۹۱۲}	۰,۶۵۷	نمایی

جدول ۶. مقایسه‌ی معادلات همبستگی (بین میانگین مقاومت و نفوذپذیری بالای داغاب در بتون کanal).

Sig.F	معادله	R ²	نوع تابع
۰,۰۸۳	Permeability = -۶,۷۰۸ strength + ۲۲۰,۲۰۸	۰,۹۸۲	خطی
۰,۰۶۰	Permeability = -۱۴۶,۸۵۶ ln (strength) + ۵۱۷,۰۸۸	۰,۹۹۱	لگاریتمی
۰,۰۴۱	Permeability = ۳۰۷۰,۹۰۱ / (strength) - ۸۴,۸۵۶	۰,۹۹۶	معکوس
-	Permeability = ۰,۴۴۲ strength ^۲ - ۲۶,۸۳۰ strength + ۴۲۳,۱۷۹	۱	درجه ۲
-	Permeability = ۰,۰۰۶ strength ^۲ - ۱۶,۱۸۵ strength + ۳۴۳,۳	۱	درجه ۳
۰,۰۸۱	permeability = e ^{-۰/۱۱۷ strength + ۷۹۲,۴۴۵}	۰,۹۸۴	نمایی

پایین داغاب با مقدار ۷۴ میلی‌لیتر مربوط به مکان شماره‌ی ۱۳ در غرب شبکه‌ی آبیاری و کمترین آن با مقدار ۷ میلی‌لیتر مربوط به مکان شماره‌ی ۳ در شرق سیستم آبیاری است. همچنین مقدار نفوذ آب با ۱۲۱ میلی‌لیتر از مکان ۱۳، بیشترین و مقدار نفوذ آب با ۱۶ میلی‌لیتر در مکان ۲، کمترین مقادیر در بالا داغاب هستند.

۴. مقدار نفوذپذیری بتون کanal از قسمت شرقی شبکه‌ی آبیاری به سمت غرب شبکه (از آبیک به سمت تاکستان) افزایش و مقاومت آن کاهش یافته است.

۵. مقاومت بتون کanal در بالای داغاب در تمامی مکان‌ها از مقاومت فشاری بتون در پایین داغاب بیشتر و نفوذپذیری بتون کanal در بالای داغاب در تمامی مکان‌ها از نفوذپذیری بتون در پایین داغاب بیشتر است.

۶. بتون پایین داغاب به دلیل مسدود شدن با رسوب‌های حاصل از آب، نفوذپذیری کمتری نسبت به بالای داغاب دارد.

۷. علت پایین بودن مقاومت در پایین داغاب نسبت به بالای داغاب را می‌توان به دلیل حمله‌ی سولفات‌ها، کلرورها و باکتری‌های موجود در آب، همچنین کربناتی شدن بتون، واکنش قلیایی، یخ‌زدگی و ذوب متوالی، فرسایش و سایش و نفوذ نمک در بتون دانست.

۸. با توجه به خروجی‌های نرم‌افزار SPSS، بین دو کمیت میانگین مقاومت و نفوذپذیری داده‌های پایین داغاب در هر مکان همبستگی از نوع تابع درجه سوم وجود دارد. همچنین بین میانگین مقاومت و نفوذپذیری در بالای داغاب در توابع معکوس، درجه دوم و سوم، همبستگی با سطح معنی‌داری ۵٪ از نوع تابع درجه دوم وجود دارد.

۱. بهترین معادله‌ی خطی بازش شده بین میانگین مقاومت و نفوذپذیری در بالای داغاب بتون کanal انتخاب می‌شود.

۱۱. نتایج

از نتایج به دست آمده و تحلیل آن‌ها می‌توان این یافته‌ها را بیان کرد:

۱. مقاومت و نفوذپذیری بتون کanal بالای داغاب به دلیل یکسان نبودن طرح اختلاط، انتقال بتون، تراکم، عمل آوری، نوع بهره‌برداری و ... در تمامی مقاطع، مقادیر یکسانی ندارند.

۲. مقاومت‌های اندازه‌گیری شده در بالای داغاب در سطح کanal، به طور میانگین بین ۱۴ تا ۳۴ مگاپاسکال و در پایین داغاب بین ۱۲ تا ۲۶ مگاپاسکال است. همچنین بیشترین مقاومت درجا بالا داغاب مربوط به مکان شماره‌ی ۷ با مقدار ۳۴ مگاپاسکال و کمترین آن مربوط به مکان شماره‌ی ۱۳ با مقاومت ۱۴ مگاپاسکال است. همین طور بیشترین مقاومت پایین داغاب مربوط به مکان شماره‌ی ۳ با مقدار ۲۶ مگاپاسکال در شرق سیستم شبکه‌ی آبیاری و کمترین آن مربوط به مکان شماره‌ی ۱۳ با مقاومت ۱۱ مگاپاسکال در غرب سیستم شبکه‌ی آبیاری است.

۳. میزان نفوذ آب در سطح بتون کanal انتقال آب شهر قزوین دامنه‌ی وسیعی دارد، به طوری که مقدار نفوذ بین ۷ تا ۷۴ میلی‌لیتر در پایین داغاب و ۱۶ تا ۱۲۱ میلی‌لیتر در بالای داغاب متغیر است. بیشترین نفوذپذیری در بتون کanal، برای

پانوشت

1. cylindrical chamber

(References) منابع

1. Waller, P. and Yitayew, M., *Open Channel Flow, Irrigation and Drainage Engineering*, Springer International Publishing (2016).
2. Naderi, M. and Ghoddoosian, O. "Assessing the adhesion of self-compacting concrete and mortar applied to different concrete surfaces, using TWIST-OFF and friction-transfer methods, and its estimation by fuzzy logic", *Journal of Civil Engineering*, **23**(1), pp. 97-110 (2012).
3. Naderi, M. and Ghoddoosian, O. "Estimation of In-situ strength of self-compacting concrete and mortars on different concrete substrate conditions using TWIST-OFF method, fuzzy logic and artificial neural", *Journal Concrete Reserch*, **5**(1), pp. 79-90 (2012).
4. Naderi, M. and Bonyadi, A. "Comparison of mix-design and compressive strengths of leca, scoria and perlite lightweight concretes with using twist-off method", *Ferdosi Journal of Civil Engineering*, **23**(2), pp. 0-23 (2012).
5. Naderi, M. and Hajinasri, S.A. "Using twist-off method for measuring CFRP/concrete adhesion when exposed to cyclic temperature changes, wet-dry and freeze-thaw", *The Journal of Adhesion*, **89**(7), pp. (2013).
6. Naderi, M. and Hajinasri, S.A. "Determination of bond strength of CFRP sheets, exposed to temperature Cchanges, wetting and drying, and freeze-thaw cycles, using twist-off method", *Ferdosi Journal of Civil Engineering*, **26**(2), pp. 131-150 (2015).
7. Naderi, M. and Khonsari, A. "The Effect of concrete strength and its bond to CFRP sheets on the ultimate strength of concrete beams", *Journal of Civil Engineering*, **26**(2), pp. 33-46 (2015).
8. Naderi, M. and Roostaei, H. "Estimation of concrete strength in sewer systems", *Journal of Water and Wastewater*, **4**, pp. 51-64 (2015).
9. Naderi, M. and Tabatabaei, S.V. "Effect of concrete and bond strength on the behavior of RC beams retrofitted with FRP sheets", *Advances in Environmental Biology*, **7**(9), pp. 2259-2269 (2013).
10. Research and Education Center of Agriculture and Natural Resources of Qazvin, Part of the Research, "Understanding the causes of degradation of concrete canal lining".
11. Water Regional Qazvin, Surface Irrigation, Information about the Hydraulic Characteristics of the Main Channel.
12. Hola, J., Bien, J., Sadowski, L. and Schabowicz, K. "Non-destructive and semi-destructive diagnostics of concrete structures in assessment of their durability", *Bulletin of the Polish Academy of Sciences Technical Sciences*, **63**(1), pp. 87-96 (Mar, 2015).
13. Naderi, M., Register of Invention in Registration Office in Islamic Republic of IRAN, "TWIST-OFF" Test, Registration Number: 32502 (2005).
14. Naderi, M., *The Methods of Recovery and Experimental Determination and Situ Strength of Concrete*, Publishers Rozbahan, Tehran, pp. 143-187 (1388).
15. Naderi, M. "Using twist-off method for measuring surface strength of concretes cured under different environments", *J. of Mater. in Civil Eng.*, **23**(4), pp. 385-397 (2011).
16. Naderi, M., Register of Invention in Registration Office in Islamic Republic of IRAN, "Cylndrycal Chamber" Test, Registration Number: 67726 (2010).
17. Akhavan Sedighi, A. "Compare permeability of concrete using standard methods and cylindrical chamber", M.Sc Thesis on Structural Engineering, Faculty of Engineering, International University of Imam Khomeini (RA), Qazvin (1393).